

BOŞLUK UZAY YÖNTEMİNİ KULLANARAK MALZEMELERİN DIELEKTRİK SABİTLERİNİ BELİRLEMEK İÇİN ÖNERİLEN OTOMATİK ÖLÇME SİSTEMİ

M. F. Akay¹

S. N. Kharkovsky²

^{1,2}Elektrik-Elektronik Mühendisliği Bölümü

Mühendislik-Mimarlık Fakültesi

Çukurova Üniversitesi, 01330, Balcalı, Adana

¹e-posta: fatih@eemb.cu.edu.tr

²e-posta: kharkovsky@mail.cu.edu.tr

Anahtar sözcükler:mikrodalga ölçümleri, yansima ve kırılma katsayıları, dielektrik sabiti, boşluk uzay yöntemi

ABSTRACT

An automated PC based free-space system for determining the permittivity of high-lossy materials is proposed. The main feature of the system is to measure only the amplitudes of transmission and reflection coefficients using free-space method and determine the permittivity dynamically using a computer. In order to measure these two amplitudes, a simple and inexpensive microwave measurement system is established. The parallel port is used as an interface between the computer and the designed control circuit. A software program is developed for the treatment of the measured signal amplitudes and determining the permittivity of high-lossy materials.

1. GİRİŞ

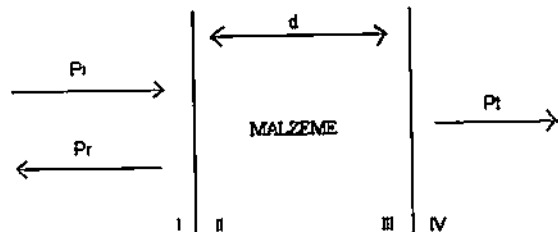
Malzemelerin dielektrik özelliklerine geçmişte duyulan ilgi, onların iletken ve diğer elektriksel aletlerin yalıtılmayı kullanımla sınırlıydı. Geçen yüzyıl boyunca, elektronik uygulamalarda kullanılmak üzere bir çok yeni dielektrik malzeme ortaya çıktı. Yüksek frekansların pratikte kullanılmaya başlanmasıyla, radyo frekanslarında ve elektromanyetik spektrumun mikrodalga ve milimetrik dalga bölgelerinde kullanılmaya elverişli yeni malzemeler geliştirildi [1]. Bu sebeplerden dolayı, malzemelerin özelliklerini belirlemek bilimsel açıdan daha da bir önem kazandı.

Bir çok farklı uygulamalarda, bu özellikleri belirleyebilmek için değişik yöntemler geliştirilmiştir [2-5]. Ancak bu yöntemlerin bir çoğu basitlikten uzaktır ve gerçeklenebilmeleri için özel ve pahalı aletlere ihtiyaç duyarlar. Ayrıca, yine bu yöntemler prensip olarak dalganın fazını belirlemeye dayalıdır ve fazı doğru olarak ölçülmek için birden fazla ölçüm yapılması gerekmektedir. Son zamanlarda yapılan bir çalışma [5], yüksek kayıplı malzemelerin dielektrik sabitlerinin, yansima ve kırılma katsayılarının sadece büyüklüklerinin bilinmesiyle belirlenebileceğini ortaya koymustur. Bu çalışmanın

amaç, boşluk uzay yöntemini kullanarak yansyan ve kırılan dalga büyüklüklerini belirleyen mikrodalga ölçme sistemini geliştirmek ve ölçülen değerleri otomatik olarak işleyen bilgisayar programını tasarlamaktır. Eğer yansima ve kırılma katsayılarının büyüklükleri doğru olarak belirlenebilirse, malzemeye temas etmeden ve anlık olarak dielektrik sabiti ölçümü gerçekleştirilebilecektir.

2. PROBLEMİN FORMÜLASYONU

Boşluk uzay yöntemini kullanarak dielektrik sabitini belirlemeye yarayacak tipik bir durum Şekil 1.'de gösterilmiştir.



Şekil 1: Boşluk uzay yöntemi kullanarak dielektrik sabitini belirleyebileceğimiz tipik bir durum

Verici antenden yayılan dalga hava ve malzeme ortamlarından geçerek alıcı antene ulaşır. Gelen dalga I no'lu hava-malzeme yüzeyinden yansiyacak ve malzemenin her iki yüzeyinden çoklu yansımalar meydana gelecektir. I, II ve III sınırlarındaki yansima katsayıları sırasıyla r_{11} , r_{21} , r_{23} ; kırılma katsayıları ise t_{12} , t_{21} ve t_{23} olarak gösterilmiştir. Sinyal-akış yöntemini kullanarak, toplam yansima katsayısı

$$r = r_{11} + t_{12}r_{23}t_{21}e^{j2\Theta} + t_{12}r_{21}r_{23}^2t_{21}e^{-j4\Theta} + \dots \quad (1)$$

olarak yazılabılır.

(1) eşitliğinde

$$\Theta = \beta_s d, \quad \beta_s = \frac{2\pi}{\lambda_0} \sqrt{\epsilon}, \quad \epsilon = \epsilon' - j\epsilon'' \quad (2)$$

olarak gösterilmiştir. Yukarıdaki ifadelerde λ_0 , d ve ϵ sırasıyla boşluğun dalgaboyu, malzemenin kalınlığı ve malzemenin dielektrik sabitidir.

(1) eşitliği daha uygun bir formda

$$r = r_{12} + r_{23} t_{12} t_{21} e^{-j2\theta} (1 + r_{21} r_{23} e^{-j2\theta}) \quad (3)$$

olarak yazılabilir.

Parantez içerisindeki ifade bir geometrik seridir ve sadeleştirme yapıldığı zaman

$$r = r_{12} + \frac{r_{23} t_{12} t_{21} e^{-j2\theta}}{1 - r_{21} r_{23} e^{-j2\theta}} \quad (4)$$

halini alır.

Aşağıdaki bağıntıları göz önünde bulundurursak,

$$r_{21} = -r_{12}, r_{23} = -r_{12} \quad (5)$$

$$t_{12} = 1 + r_{12} \quad (6)$$

$$t_{21} = 1 + r_{21} = 1 - r_{12} \quad (7)$$

(4) eşitliği

$$r = \frac{r_{12}(1 - e^{-j2\theta})}{1 - r_{12}^2 e^{-j2\theta}} \quad (8)$$

olarak yazılır.

Benzer yöntemle t kırılma katsayısı

$$t = \frac{(1 - r_{12}^2)e^{-j\theta}}{1 + r_{12}^2 e^{-j2\theta}} \quad (9)$$

olarak hesaplanır.

Yüksek kayıplı malzemeler için r ve t ifadeleri daha basit biçimde yazılabilir. Malzemenin yüksek kayıplı olduğu göz önünde tutulursa, malzeme yüzeyinde oluşan çoklu yansımalar ihmal edilebilir. Bu varsayıma göre, serinin sadece ilk terimleri yansımı ve kırılma katsayılarını ifade etmek için yeterli olur. Durum böyle olunca, r ve t

$$r = r_{12} \quad (10)$$

$$t = (1 - r_{12}^2)e^{-j\theta} \quad (11)$$

olarak yazılır.

Deneyel çalışmalarında yansımı ve kırılma katsayılarının büyüklükleri aşağıdaki gibi tanımlanan desibel cinsinden ölçülür.

$$T = -20 \log |t|, \quad R = -20 \log |r| \quad (12)$$

Yukarıdaki ifadelerden görüldüğü gibi R ve T, dielektrik sabitinin bir fonksiyonudur.

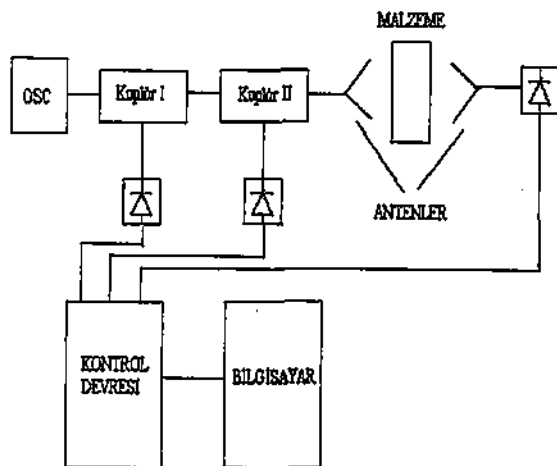
$$R = R(\epsilon', \epsilon'') \quad (13)$$

$$T = T(\epsilon', \epsilon'')$$

Bu denklemler sayısal yöntemler kullanılarak analiz edilebilir:

3. DENEYSEL ÇALIŞMA

Bir önceki bölümdeki analize göre, yüksek kayıplı malzemelerin dielektrik sabitlerini belirlemek için, yansımı ve kırılma katsayılarının büyüklüklerini ölçeceğ ve bu bilgileri bilgisayar yardımıyla otomatik olarak değerlendirecek bir sisteme ihtiyaç duyulduğundan açıkta. Geliştirilen sistem, Şekil 2.'de gösterilmiştir.



Şekil 2. Örnek sistemi.

Genel olarak, sistem 3 bölümde incelenebilir.

- i) Mikrodalga deney düzeneği
- ii) Elektronik kontrol devresi (Bilgisayar arabirim devresi)
- iii) Bilgisayar ve yazılım

A. Mikrodalga Deney Düzeneği

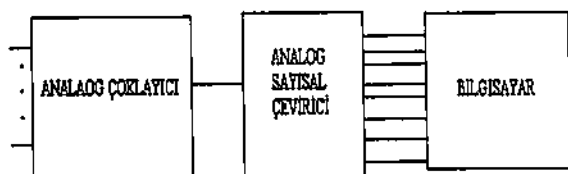
Sistemin mikrodalga bölümü; gelen, yansızın ve kırılan dalganın büyüklüklerini üç ayrı parametre olarak ölçme amacıyla tasarlanmıştır. Osilatörden yayılan dalga sistemi beslemektedir. Gelen dalga P_g , yansızın dalga P_y ve kırılan dalga P_k , yansımı ve kırılma katsayılarını belirlemek amacıyla kullanılır. Şekil 2.'den görüldüğü üzere, malzeme iki horn anten arasına yerleştirilir. Antenler arasındaki uzaklık, arada malzeme olmadığı zaman alıcı anten tarafından maksimum güç alınması gerektiği hipotezine göre ayarlanmıştır.

Cok frekanslı osilatörden gelen elektromanyetik dalga dikdörtgen dalga kılavuzu aracılığı ile taşınır. Benzer şekilde; alıcı anten başında indüklenen dalga da dikdörtgen dalga kılavuzu ile taşınır. Verici tarafında, yansızın ve gelen dalganın büyüklüğünü ayrı ayrı ölçmek amacıyla iki adet yönlü kuplör bulunmaktadır. Diyod detektörün çalışma prensibinden bilindiği üzere, diyod detektör indüklenen gerilimin değerini kare kuralına göre ölçer. (dalganın negatif kısmını

pozitife çevirir, ve sonra oluşan dalga formunun maksimum büyüklüğünü DC olarak ölçer.) Yönülu kuplör elektromanyetik dalgayı bir yönde ilettiğinden dolayı, verici tarafındaki kuplörler birbirlerine ters olarak bağlanmıştır ve böylece birinin gelen dalgayı, diğerinin ise yansıyan dalgayı ölçmesi sağlanmıştır.

B. Bilgisayar Arabirim Devresi

Geliştirilen bilgisayar arabirim devresi Şekil 3.'te gösterilmiştir.



Şekil 3. Elektronik kontrol devresi

Kontrol devresinin temel görevi, mikrodalga deney düzeneği ile bilgisayar arasında iletişimini sağlamaktır. Dielektrik sabitini belirlemek için faz bilgisine ihtiyaç olmadığından dolayı, detektör çıkışları etkindir. Detektör çıkışları sabit değerler olduğu için, kontrol devresi yardımıyla bilgisayara girilmeye son derece müsbaittir. Geliştirilen kontrol devresinin üç temel özelliği mevcuttur. Birincisi, devrede kullanılan analog çoklayıcının birden fazla sinyalin bilgisayara girilmesine olanak tanımazdır. Giriş sinyalleri, saat darbesi yaklaşık 1 saniye olan 3-bitlik sayıcı devresi ile seçilmektedir. Dikkat edilmesi gereken nokta, sistemin hızlı veri işleme mekanizmasına gerek duymadığı ve böylece 1 saniyelik saat darbelerinin sistem için uygun olduğunu.

İkinci temel özellik, bilgisayarın sadece sayısal değerler ile çalışılmasına rağmen, çoklayıcı çıkışlarının analog-sayısal çeviriçiye verildiğidir. Analog-sayısal çevircinin gerilim aralığı 0-5 Volt olarak ayarlanmıştır. Yani çevircisinin çıkış gerilimi 0-5000 milivolt arasında ve 0.019 milivolt çözünürlüğünde olacaktır.

Kontrol devresinin üçüncü ve belki de en önemli karakteristiği, bilgisayarla arabirim bağlantısını paralel port üzerinden yapmasıdır. Daha önceki çalışmalar, arabirim bağlantısı için genelde seri iletişim teknikleri veya veri işleme kartları kullanılmışlardır. Paralel port ile arabirim teknigi, devrenin maliyetini ve karmaşıklığını azaltmaktadır.

C. Bilgisayar ve Yazılım

Ölçülen sinyalleri bilgisayar ortamında değerlendirmek amacıyla esnek ve modüler bir program geliştirilmiştir. Programı kullanarak gelen, yansıyan ve kırılan dalgaların büyüklükleri bilgisayar ekranında gözlenebilir. Program ayrıca, çok katmanlı

yapılar için yansıma ve kırılma katsayılarının grafiklerini gerçek zamanlı olarak çizmektedir. Programla yapılan bir çok deneme, bilgisayar ekranında görülen değerlerle osiloskopta ölçülen değerlerin yaklaşık aynı olduğunu göstermiştir.

4. SONUÇLAR

Yüksek kayıplı malzemelerin dielektrik sabitlerini belirlemek için yansıma ve kırılma katsayılarının sadece büyütüklerinin bilinmesinin yeterli olduğuna dair teorik formüller incelenmiştir. Bu teorik formüller gözönünde tutularak, tamamıyla otomatik, bilgisayar tabanlı dalga büyütüğü ölçme sistemi geliştirilmiştir. Tasarılan elektronik kontrol devresi yardımıyla, ölçülen değerler, bilgisayar ortamına aktarılmıştır. Geliştirilen bilgisayar programı aracılığıyla yansıma ve kırılma katsayıları hesaplanmıştır. X bandında (8-12GHz) çalışmak üzere önerilen sistemin tarım ürünlerleri ve çimento tabanlı yapılar gibi yüksek kayıplı malzemelerin dielektrik sabitlerini belirlemede kullanılabileceği düşünülmektedir.

5. REFERANSLAR

- [1] S. Liao, *Microwave Devices and Circuits*, Prentice-Hall Inc., Englewood Cliffs, New Jersey, USA, 1985
- [2] C.C. Courtney and W. Motil, "One-port time-domain measurement of the approximate permittivity and permeability of materials", *IEEE Trans. Microwave Theory Tech.*, vol. 47, no. 5, pp. 551-555, 1999
- [3] G. Kent, "Nondestructive permittivity measurement of substrates", *IEEE Trans. Instrum. Meas.*, vol. 45, no. 1, pp. 102-106, 1996
- [4] D.V. Blackham and R.D. Pollard, "An improved technique for permittivity measurements using a coaxial probe", *IEEE Trans. Instrum. Meas.*, vol. 46, no. 5, pp. 1093-1099, 1997
- [5] Z. Ma and S. Okamura, "Permittivity determination using amplitudes of transmission and reflection coefficients at microwave frequency", *IEEE Microwave Theory Tech.*, vol. 47, no. 5, pp. 546-550, 1999